

岐阜大学	正会員	○ 六郷 恵哲
岐阜大学	正会員	岩瀬 裕之
岐阜大学	正会員	小柳 治

1. まえがき

曲げを受けるRCはりの終局状態を考えた場合、引張鉄筋比 ρ を高くとると引張鉄筋の降伏が生じにくくなり、逆に引張鉄筋比 ρ を小さくとると最終的に引張鉄筋の破断が生じる。引張鉄筋の降伏変形は十分生じさせると破断は生じさせないようある範囲内に引張鉄筋比を制限することにより、RCはりの曲げ耐性を考慮した設計が可能となる。本研究においては、引張鉄筋の降伏が生じにくくなる限界（最小）の引張鉄筋比を降伏限界鉄筋比 ρ_y とし、引張鉄筋の破断が生じる限界（最大）の引張鉄筋比を破断限界鉄筋比 ρ_u とし、これらの限界鉄筋比におけるコンクリートの圧縮耐性（応力ひずみ曲線下の面積）の影響について検討した。なお、引張鉄筋比に上下限を設けることによりRCはりの耐性を確保する考え方とはACI439委員会により提案されており¹⁾、本研究においては、コンクリートの圧縮強度と圧壊ひずみに代えて圧縮耐性を用いた合理的な上下限の算定式を提案した。

2. 降伏終了点

RCはりのモーメント曲率関係（あるいは荷重変位関係）は、曲げひびわれ発生点、引張鉄筋の降伏開始点、最大耐力点、引張鉄筋の降伏終了点、引張鉄筋の破断点まで特徴分けられる。引張鉄筋の降伏終了点とは、引張鉄筋に荷重が生じて降伏が終了する点である。引張鉄筋の降伏終了点における引張鉄筋の応力 σ_{sr} とひずみ ϵ_{sr} 、左端に上緯コンクリートの応力 σ_{cr} とひずみ ϵ_{cr} は次のように表わせる²⁾。

$$\sigma_{sr} = \sigma_{sy} \quad \dots \dots (1), \quad \epsilon_{sr} = S(\epsilon_{cr}) / \{ p\sigma_{sy} - p'\sigma_{sy}' + N'/(bd) \} - \epsilon_{cr} \quad \dots \dots (2), \quad \sigma_{cr} = p\sigma_{sy} - p'\sigma_{sy}' + N'/(bd) \quad \dots \dots (3)$$

ϵ_{cr} ：コンクリートの応力ひずみ曲線の下降域において応力が σ_{cr} となるひずみ（図-1参照）
ここに、 p 、 p' は引張および圧縮鉄筋比、 σ_{sy} 、 σ_{sy}' は引張および圧縮鉄筋の降伏強度、 b 、 d ははり断面の幅および有効高さ、 N' は軸圧縮力である。 $S(\epsilon_{cr})$ は図-1に示すように、コンクリートの応力ひずみ曲線においてひずみ ϵ_{cr} にいたるまでの応力ひずみ曲線下の面積である。

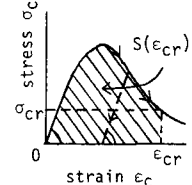


図-1 コンクリートの応力ひずみ曲線

3. 限界鉄筋比

(a) 降伏限界鉄筋比 ρ_y ρ_y は引張鉄筋の降伏開始点と降伏終了点とが一致する場合の鉄筋比と考えることででき、(2)式で与えられた降伏終了点における引張鉄筋ひずみ ϵ_{sr} を降伏ひずみ ϵ_{sy} とおくことにより求められる。

$$\rho_y = \{ S(\epsilon_{cr}) / (\epsilon_{sy} + \epsilon_{cr}) + p'\sigma_{sy}' - N'/(bd) \} / \sigma_{sy} \quad \dots \dots (4)$$

上式に含まれた上緯コンクリートひずみ ϵ_{cr} は(3)式を介して引張鉄筋の周数となるため、降伏限界鉄筋比 ρ_y の算定にあたっては、(3)(4)式を用いて簡単な収束計算を行うこととなる。 $p'=0$ 、 $N'=0$ の場合には、次式となる。

$$\rho_y = S(\epsilon_{cr}) / \{ (\epsilon_{sy} + \epsilon_{cr}) \sigma_{sy} \} \quad \dots \dots (5)$$

従来用いられてきた終局状態におけるフリアイ鉄筋比 ρ_f は、引張鉄筋の降伏とコンクリートの圧壊と同時に生ずる時の引張鉄筋比と定義され、 $p'=0$ 、 $N'=0$ の場合次式で与えられる。

$$\rho_f = \bar{\sigma}_c E_{cu} / \{ (\epsilon_{sy} + \epsilon_{cr}) \sigma_{sy} \} \quad \dots \dots (6)$$

ここで、 $\bar{\sigma}_c$ ははり圧壊域のコンクリートの平均圧縮応力、 E_{cu} はコンクリートの圧壊ひずみである。

RCはりの曲げ破壊過程において、はり上緯コンクリートの圧壊点は実験上必ずしも明確に定めうる点だけではなく、ひずみがからむる、フリアイ鉄筋比 ρ_f を求めるためにはコンクリートの圧壊ひずみ E_{cu} の値を決めなければならぬ点に問題がある。例としては鋼鐵維構造コンクリートの E_{cu} をいくらにするかが定説はない。これに対し、降伏限界鉄筋比 ρ_y の算定においては、引張鉄筋が降伏するか否かのみを判定しておいたためコンクリートの圧壊ひずみ

で ϵ_{cu} を決める必要がなく、しかもコンクリートの材料特性としての圧縮塑性を直接反映させることができる。

(b) 破断限界鉄筋比 p_y p_y は 31 張鉄筋の降伏終了点と破断点とが一致する場合の鉄筋比と考えることができる、

(2)式において ϵ_{sr} を 31 張鉄筋の破断ひずみ ϵ_{sf} とおくことにより、次式で与えられる。

$$p_y = \{ S(\epsilon_{cr}) / (\epsilon_{sf} + \epsilon_{cr}) + p' \bar{\sigma}_{sy}' - N' / (bd) \} / \bar{\sigma}_{sy} \quad \dots \dots (7)$$

$p' = 0$, $N' = 0$ の場合には次式となる。

$$p_y = S(\epsilon_{cr}) / \{ (\epsilon_{sf} + \epsilon_{cr}) \bar{\sigma}_{sy} \} \quad \dots \dots (8)$$

降伏限界鉄筋比 p_y ならびに破断限界鉄筋比 p_y は、コンクリートの圧縮塑性 $S(\epsilon_{cr})$ ならびに圧縮鉄筋比 p' が大きくなると増大し、軸圧縮力 N' が大きくなると減少するといふ。(4), (7)式よりわかる。

4. 計算例

コンクリートの応力ひずみ曲線は、図-2(a)～(d)に示す4種類とする。(a)は普通コンクリート、(b),(c)は鋼纖維補強コンクリート、(d)は高強度コンクリートをもつて想定したものである。鉄筋の応力ひずみ曲線は、ひずみ硬化を無視した弾塑性体のものとし、降伏強度 $\bar{\sigma}_{sy} = 400 \text{ MPa}$ 、ヤング係数 $E_s = 200 \text{ GPa}$ 、降伏ひずみ $\epsilon_{sy} = 0.002$ 、破断ひずみ $\epsilon_{sf} = 0.12$ とする。簡単のため圧縮鉄筋比 $p' = 0$ 、軸圧縮力 $N' = 0$ とする。

上記の条件のもとに、降伏限界鉄筋比 p_y 、破断限界鉄筋比 p_y 、ならびにコンクリートの圧縮ひずみ $\epsilon_{cu} = 0.0035$ とした場合のつりあい鉄筋比 p_y を、それに対応する 31 張鉄筋の降伏時と破断時のコンクリートひずみ ϵ_{cy} , ϵ_{cf} を図-2 に示す。

図-2(a)の荷重変位曲線は(a)の曲線を荷重軸のみ 2 倍にしたものであるが、 ϵ_{cy} ならびに ϵ_{cf} は(a)(d)で同一となり、(d)の p_y , p_y , p_y は、(a)の 2 倍となった。すなわち、つりあい鉄筋比 p_y も降伏限界鉄筋比 p_y もともにコンクリートの圧縮塑性の増加(この場合は圧縮強度の増加)を反映している。しかしながら、(a)に対する(b),(c)のように、変形能の増加によりコンクリートの圧縮塑性が増加した場合には、つりあい鉄筋比 p_y よりも、降伏限界鉄筋比 p_y の方がコンクリートの圧縮塑性の増加をよく反映している。破断限界鉄筋比 p_y は、コンクリートの応力ひずみ曲線下の全面積には比例してなる。降伏限界鉄筋比 p_y も破断限界鉄筋比 p_y もともにコンクリートの圧縮強度には直接影響されず、コンクリートの応力ひずみ曲線の形状のうち主として曲線下の面積に影響される。

5.まとめ

曲げを受けた RC はりについて、31 張鉄筋の降伏が生じた限界の降伏限界鉄筋比 p_y ならびに破断が生じた限界の破断限界鉄筋比 p_y を算定する式を、コンクリートの圧縮塑性すらまち応力ひずみ曲線下の面積を用いた形式で提示した。鋼纖維補強コンクリートのように通常のコンクリートに比べて変形能の増加により圧縮塑性が増加する場合には、31 張鉄筋比の上限としてつりあい鉄筋比 p_y よりも降伏限界鉄筋比 p_y の方が通していいことを示した。

〈参考文献〉 1) ACI Committee 439: ACI J., pp. 165~173, March 1969,

2) 小柳治他: 第5回コンクリート工学会講論文集, pp. 333~336, 1983年.

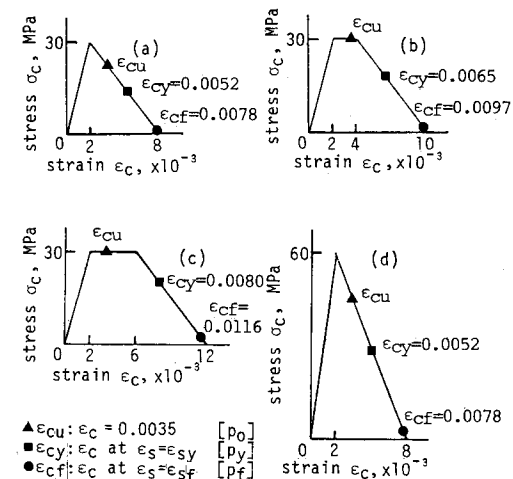


図-2 コンクリートの応力ひずみ曲線と ϵ_{cu} , ϵ_{cy} , ϵ_{cf}

表-1 つりあい鉄筋比 p_y と限界鉄筋比 p_y , p_y

type of stress -strain curve of concrete	reinforcement ratio		
	balanced po	yield-limit py	rupture-limit pf
(a) $A=120 \text{ kPa}$	3.15	3.49	0.23
(b) $A=180 \text{ kPa}$	3.41	4.39	0.35
(c) $A=240 \text{ kPa}$	3.41	5.00	0.45
(d) $A=240 \text{ kPa}$	6.31	6.97	0.47

A: コンクリートの応力ひずみ曲線下の全面積